

傾斜壓延に関する研究(I)

(昭和 22 年 4 月本會講演大會にて講演)

池 島 俊 雄*

STUDY ON THE OBLIQUE ROLLING (I)

Toshio Ikeshma

Synopsis:-

The analysis of the piercing mechanism of Mannesmann type piercing machine—the most important application of the oblique rolling—was projected from various experiments.

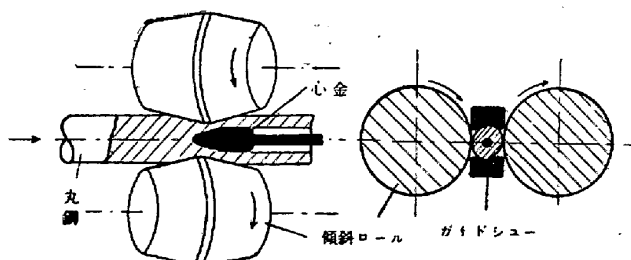
This report contains the results of experiments on the axial slip between main rolls—oblique rolls and rolled billet and on the power consumption in piercing. The results obtained are as follows:

1. The axial slip is higher than the case of ordinary rolling.
2. Power consumption per ton of pierced billet A/W (KWH/ton) is proportional to the deformation degree of piercing φ_{rm} , i. d.

$$A/W = 17 \cdot \varphi_{rm}$$
3. Ideal piercing work is nearly 15% of real piercing power consumption of the driving motor.

I. 緒 言

傾斜壓延とは壓延材の軸に對しロールの軸が平行でも直角でもなく、或る角度をもつたロールで壓延する事を意味するが、その重要な應用例としてはマンネスマン穿孔機及びステイフェル穿孔機がある。この報告ではこれら鋼管を製造するのに大切な役割をする穿孔機に於ける穿孔現象を傾斜壓延として取上げ、その理論と實際上の問題を研究した結果を述べる。この穿孔現象は非常に複雑で本報はその解析の第一歩に過ぎない事を御断りしておく。



第1圖 マンネスマン穿孔機

マンネスマン穿孔機は第1圖に示すやうに2箇の傾斜ロールとプラグと2箇のガイドシューと稱する工具から成りだつてゐる。ロールの面轉により壓延材は面轉及び前進運動を與へられ、且つロールの前半では横壓縮を受ける。こゝに於て壓延材は回轉し乍ら横壓縮を受け一

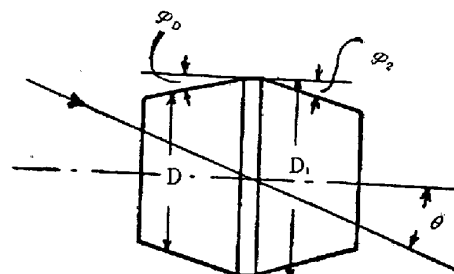
これを揉み作用 (Friemelung) と稱する—その中に孔を生ずるに至る。この理論については第3報に述べる豫定である。續いてロールの後半ではロール、プラグ及びガイドシューの共同作用で孔を擴大し、孔の内面を滑らかにし、更に内厚を減少して中空の素管を作るのである。このやうな仕事が1回のパスで行はれる上にこの穿孔現象は次に示す多くの setting の因子によつて影響される。

1. 壓延材

穿孔前の直徑 d_0 、穿孔後の外徑 d_2 、内徑 d_2' 。

2. 傾斜ロール

直徑 D_1 (最大部分)、傾斜角 θ 、入口角 φ_0 、出口角 φ_2 、回轉數 N 、ロール開き p 、ロールの形狀… (第2圖参照)



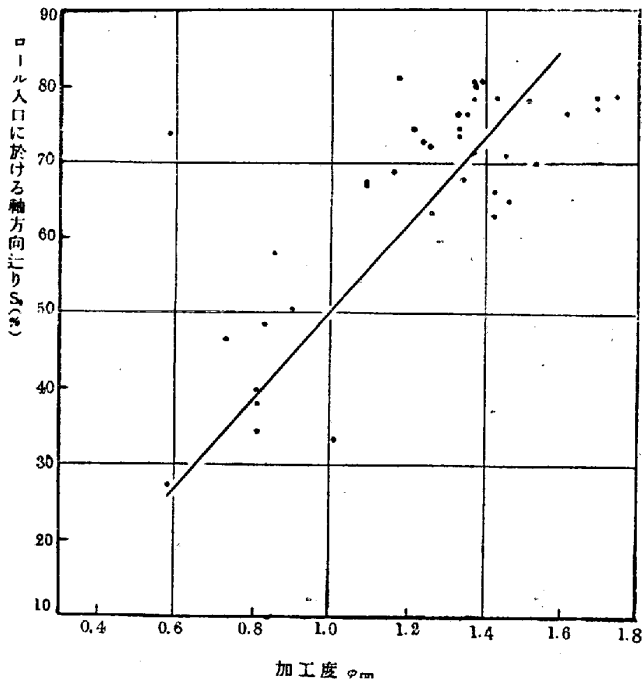
第2圖 傾斜ロール

* 新扶桑金屬工業株式會社钢管製造所

次の式で與へられる.

実験結果から φ_{rm} と s_0 , s_2 との関係を計算して

実験結果から φ_{rm} と s_0 , s_2 との関係を計算して図示すると第4及5圖のようになる。第4圖から s_0 は加工度が大きくなると共に増加し 20% から 80% の範囲にある。第5圖から s_2 は加工度との関係は明らかでないが、60%から-15% の範囲にある。この負の辺りは壓延材の方がロールより先進する事を意味する。板や棒の壓延の際には s_2 の値は常に負であるが、この穿孔の場合には前進方向への抵抗が大きいので少數の例を除くと正になつてゐる。この実験は約6ヶ月に亘つて行つたため、実験の條件を一定に出来なかつたので加工度以外の因子の影響があつて可なり測定値にばらつきを生じたが、第4圖の場合には加工度の影響が非常に大きいため略一つの曲線で表はし得た。この曲線は今後の研究の基礎資料として使用する。



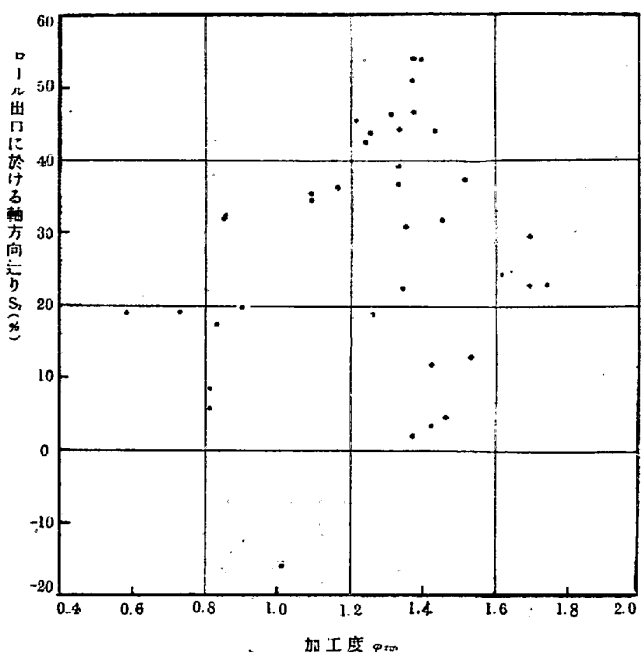
第4圖 加工度とロール入口に於る辺りとの關係

IV. 電力消費量について

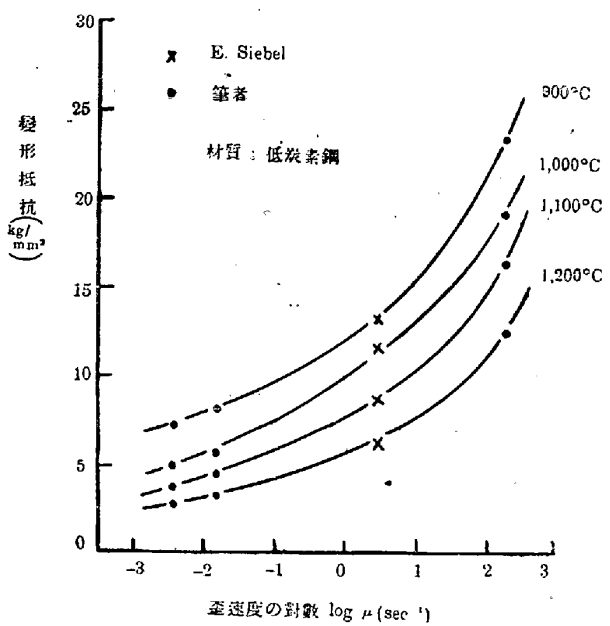
(1) 穿孔に要する仕事

丸鋼を理想的な加工方法で中空體にした場合の理想仕事 A_{id} は次式で與へられる。

こゝに V は加工をうける體積, κ_f は壓延材の變形抵抗, φ_m は加工度で (2) 式で與へられる。實際穿孔に要した仕事と理想仕事との關係を求めて見る事が目的である。(7) 式に於ける κ_f の値については第 6 圖に



第5圖 加工度とロール出口に於る辺りとの關係



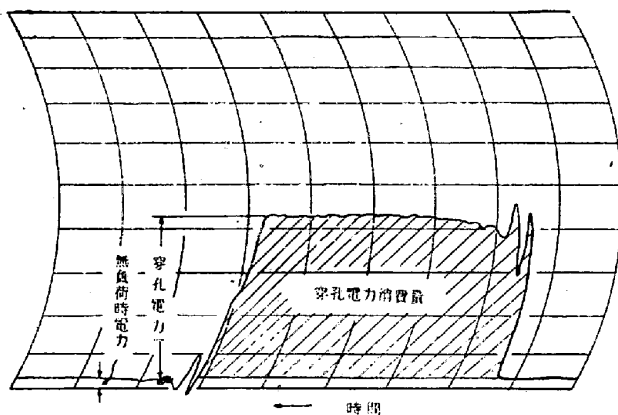
第6圖 歪 10% に於ける歪速度と変形抵抗との関係

示す歪速度と変形抵抗との曲線を用ひて求める。穿孔の際の歪速度は場所によって異なるが $2\sim 15\text{sec}^{-1}$ と考へられるので 1200°C に於ては $\kappa f = 6\sim 8\text{kg/mm}^2$ とする事にする。

(2) 電力及電力消費量の測定

穿孔時間を測定した前記の數十種の壓延材につき穿孔溫度及電力を併せて測定した。電力の測定は記録式電力計により第7圖のような曲線をとり、この曲線の平均の高さから無負荷時の電力を差引いた數値を穿孔電力とした。穿孔に要した電力消費量は第7圖の斜線の面積に相

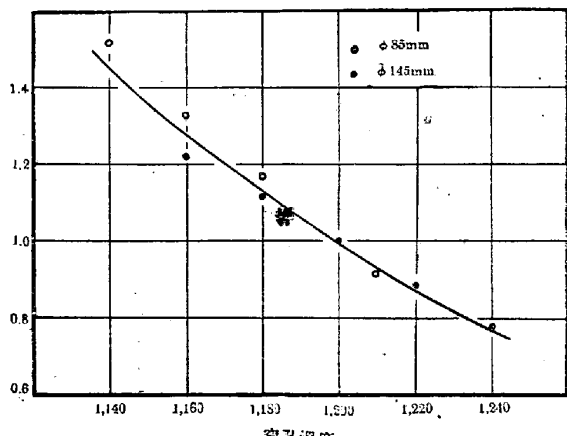
當する電力量とした.



第7圖 穿孔中に於ける時間一電力曲線

(3) 穿孔温度と電力及電力消費量との関係

穿孔温度と電力との間には常に一定の関係が得られなかつたが、穿孔温度と電力消費量との間には第8図に示すような関係が得られた。この関係を用ひて電力消費量に關するすべての測定値を穿孔温度 1200°C の場合に補正する事とした。



第8圖 穿孔電力消費量の溫度による補正曲線

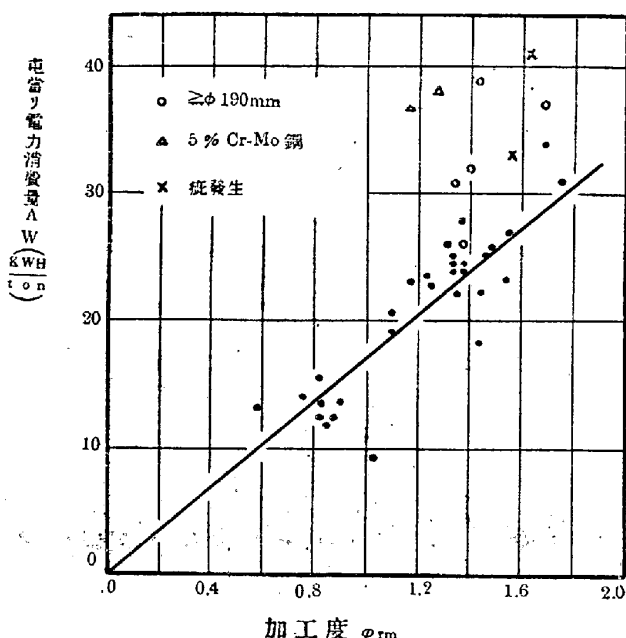
(4) 電力消費量と加工度との関係

1200°C の穿孔温度に於ける電力消費量 A をその圧延材の重量 W で割った値 A/W と加工度 φ_{rm} との関係を第 9 図に示す。この結果太径丸鋼 ($\leq \phi 190\text{mm}$)、Cr = 5% の Cr-Mo 鋼及び疵の発生した場合を除くと A/W と φ_{rm} は略々直線的な関係があり

となる。A の単位は KWH, W は ton である。

(5) 傾斜延の加工效率

実際に穿孔に要した仕事と理想仕事との比率を計算してみると



第9圖 加工度と電力消費量との関係

$$\eta = \frac{A_{\text{id}}}{A} = \frac{V \cdot \kappa f \cdot \varphi r m}{W \cdot 17 \cdot \varphi r m} \\ = \frac{\kappa f (\kappa g/mm^2)}{48 \cdot 6 (\kappa g/mm^2)} \quad \dots \dots \dots (9)$$

となる。そこで前述の通り $\kappa f = 6 \sim 8 \text{ kg/mm}^2$ とすると
 $\eta = 12.3 \sim 16.5\%$ 。

となる。従つて穿孔機の電動機から出たエネルギーの中約 15% が理想仕事に相當する事となる。この残りの仕事は次の事に消費されたと考へられる。

A. 外 部 仕 事

- (i) カムワルツ、カッブリング等のロール迄の傳達部分に於ける損失
 - (ii) ロール軸受部分に於ける損失
 - (iii) ロール、プラッグ及ガイドシャーと壓延材との間の摩擦損失

但しこの外部仕事は無負荷時の時に比べて増加した分のみである。

B. 内部仕事

- (i) 壓延中、外徑を一度減少した後再び擴大するのでこれに要する仕事及び揉み作用に要する仕事の一部
 - (ii) 壓延材の各部分に於ける不均一な變形例へば捩れ等に要する仕事

以上の夫々の損失に關する定量的な検討は後に譲るとして、このような加工效率から云つて必ずしも良いと思はれぬこの穿孔法が他の製管方法に卓越している事は、長尺の材料を穿孔出来る事、工具の消耗が比較的少ない

事、偏内が少ない事及び多量生産に適している事が考へられる。

V. 結語

傾斜圧延法の一つとしてマンネスマン穿孔機につき穿孔時間、電力消費量を測定した結果次の結論を得た。

(1) ロールの入口に於てはロールの方が圧延材より早く進み、ロールと圧延材の辺りは加工度と一定の関係にある。

(2) ロールの出口に於ては少數の例を除いてはやは

リロールの進みの方が早くこの現象は普通の圧延に比し傾斜圧延の場合は前進に對する抵抗が大きい事を示す。

(3) 圧延材単位重量當りの穿孔電力消費量は加工度に略々比例する。この電力量に對し理想的穿孔仕事はその約 15 %に相當する。この事は傾斜圧延では摩擦及び附加的な變形に要する仕事の多い事を示す。

(昭和 25 年 4 月寄稿)

文獻

- 1) E. Siebel und E. Fangmeier, Mitt K.-W.-Inst. Eisenforsch. 13 (1931) S. 29

鋼に於ける炭化物の球状化に就て (II)

(焼入鋼繰返加熱に依るセメンタイトの球状化に及ぼす炭素含有量の影響に就て)

佐 藤 知 雄* 矢 島 悅 次 郎*

ON SPHEROIDIZING OF CARBIDE IN STEELS (II)

(Effect of Carbon Content on the Spheroidizing of Cementite of Quenched Steel by Repeated Heating and Cooling.)

Tomo-o Sato and Etsujiro Yajima

Synopsis:

Quenched Sweden carbon steels containing about 0.1, 0.3, 0.5, 0.7, 0.9, 1.2 and 1.3% C were subjected to repeated heating and cooling passing A₁ point, and the effect of carbon content on the spheroidizing of cementite in those steels was studied.

One cycle of heating and cooling was carried out as follows:

700° → 760°, heating 1°/min., hold at 760° for 14 min.

760° → 700°, cooling 1°/min., hold at 700° for 30 min.

This cycle was repeated 1 to 5 times, and after each cycle the rate of spheroidizing of cementite was measured by means of Rockwell hardness tester.

After 3 times of the cycle in Hypo-eutectoid steel and after 5 times of it in Hyper-eutectoid steel the spheroidizing was completed — that is, the lowest constant hardness was obtained.

Difference of the quenched structure — if the same steel — does no effect on the final spheroidal structure and its hardness by this heat treatment.

The final hardness of spheroidized steel thus obtained is expressed by following formula:

$$\text{Rockwell hardness in B scale} = 21 \times C\% + 72.9$$

This hardness is more or less higher than that of the spheroidized one made from the same steel having the lamellar pearlite structure.

I. 緒言

著者等は第 1 報¹⁾に於て、鋼の焼入焼戻による炭化物の球状化に及ぼす各種元素の影響に就て報告した。本報

は焼入炭素鋼を A₁ 變態點の上下に繰返し加熱冷却してセメンタイトの球状化を行う場合、球状化に及ぼす鋼

* 東北大學工學部金屬工學科